

### III-147 河床下伏流水の電気アナログ法による解析について

大林組技術研究所 正員 前藤二郎

〃 〃 〇西林清茂

〃 〃 平間邦興

#### 1. まえがき

河川の水を集水設備によって直接取水する場合は通常の水理学的解析方法によつて設計計画しても大きな誤差をまぬくことはないようであつたが、河床下も含んで河川敷内の帶水地盤に複数の有孔ヒューム管、鉄管と井戸あるいは埋渠として設置し、地下伏流水を取水する場合の設計計画においては問題が多い。すなはち帶水層となつ地盤の状態、集水管設置状態、各集水管の相互干渉などによつて伏流水は三次元的複雑な挙動を示すからである。特に既設集水管に近接して位置し新らしく集水管を設置して取水量増加を計画する場合には、附近一帯の伏流水は既設集水管によつてすでにポテンシャル変化を受けており、また新設集水管が設置されることによつてこれらのポテンシャルは再び変化し、当然既設集水管の取水量も影響を受ける。したがつて、限界となる地区内で新設集水管による全体の取水量増加を最大にするためには帶水層地盤状態、伏流水の供給水源の位置なども考慮して各集水管の相互干渉が最も少ない位置を選定する必要がある。

筆者らは新設集水管の設置位置選定より、既設集水管の取水量増加方法などの複雑な解析を必要とする伏流水の実際問題を寒天を使用して三次元的電気アナログ法によつて解析している。

ここでは集水管設置計画に適用して二つの実施例とともに伏流水の問題を電気アナログ法で解析する場合の一般的方法と集水管設置位置によるポテンシャル分布の変化および取水量について述べる。

#### 2. 電気アナログ実験方法と解析

電気アナログ法は模型実験であつため、現地の調査を十分に行なわなければならぬ。現地調査が電気アナログ法解析の精度を左右するといつても過言ではない。

##### 2.1 現地調査

①地盤の土質性状----特に地盤の透水性を基準として対象地区を中心附近一帯の地層構成を調査する。この結果をもとに帶水層の层数、深さ、分布を決定する。

②河床の状態----河床下に集水管が設置されていなくとも、供給水源であるので河床下の不透水性物質(ヘドロ)の堆積分布状態および河床の断面形状を調査する。

③帶水地盤の透水性----流量解析の場合、透水层数の値は比例的に影響を与えるので、現場透水試験を実施し正確な値を求める。

④地下水位(水圧)分布状態----とくに既設集水設備があつてすでに取水している場合には附近一帯の伏流水は水圧低下を受けていたので、水位観測井を設置して水圧ポテンシャル分布状態を調査する。

⑤既設集水設備の状況----構造の仕用、地下水位との深さ関係など。

その他----河川水位の季節的変動、河川以外の地下水供給源など。

これら現地調査結果をもと電気アナログ模型実験を実施する。

## 2.2 実験装置の作成

1) 実験対象範囲の決定——模型実験であるから、無限の広がりを再現することは不可能であるため現地調査結果の地盤状態、水圧ポテンシナル分布状態、集水管の設置条件などによって対象範囲を決定する。

2) 各模型構造物の作成——対象範囲が決定されれば、漏水勾配、集水構造物の大きさなどから実験規模を定め各構造物・模型縮尺に応じて作成する。漏水地盤は適当な比電導度の寒天とする。異なった透水性を持つこと以上地盤の場合には、各々の透水性の比に対応して比電導度の寒天を使用する。不透水性地盤は絶縁を施して実験槽の側壁、底板あるいは寒天地盤の切り取りにより空気への置換にて表わし、河床形状は模型あわいは寒天地盤の切り取りで作成する。

集水管、井戸の模型は集水孔の開口率を考慮して模型とする必要がある。現在ではエボナイト棒を本体に銅線を巻きつけるものである。銅線の巻きつけ方は次のような手順実験で定めた。集水孔は丸状であるので、(1)丸状と線状の実際、(2)銅線が円形であるため、平板と円形との関係を電気的に調べ、(3)と(4)の場合は開口率2.8%、管径1.500mmの集水管に対してφ10mmのエボナイト棒にφ0.22mmの銅線を単位長さ(1cm)あたり2cmである。

## 2.3 実験の実施方法

各実験装置が完成しないならば、伏流水の供給源に銅板を設置し、集水管模型との間に配線を行なう。

実験の一歩階は既設集水管のみを設置し、地盤条件は実際のままとして置く。そして概略判断した境界条件(主に伏流水の供給源)のもとでポテンシナル

の測定を行ない、オーブンのポテンシナル分布状態を求め、このポテンシナル分布を現地調査結果の水位(水圧)ポテンシナル分布と比較し、くい違いの部分があらわす模型実験の境界条件が間違っているのであらかじめ境界条件を修正し、再びポテンシナル分布を測定し同様の操作をくり返してできるだけ現地のポテンシナル分布に近づける。大抵の場合、この操作は一回で終了するところなく5回、6回と試みることとなる。この段階が実験における最も重要なポイントである。(実施例-2)を例に挙げて説明する。図-1は現地水位測定結果とともにポテンシナル分布図である。河床下の漏水勾配の水位(水圧)測定は掘削管設置の都合上できなかつたが陸上部には3点の水位観測管を設置して各位置

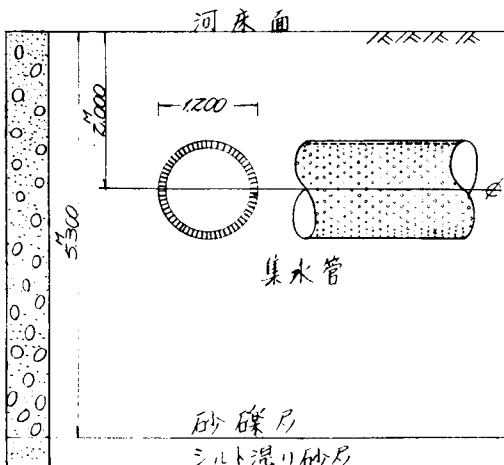


図-1 集水管構造および設置位置(実施例-1)

実施例-1——山陽パルプ岩国工場の工業用水取水増加計画において河床下に布設される5本の既設集水管に加えて新規しく3本の新設管を設置する際の集水管設置位置の検討に適用したものである。

実施例-2——東洋紡岩国工場の工業用水取水増加計画において砂州の部分に埋設されている既設集水管の取水能力増加方法を検討したもので砂州の部分に水田状あわいはクリーク状の河水を呼び込んで徐の効果を検討した。

置の水位を求める水位低下等分布線を描いた。ラインに記入されている数字は最大水位低下量を100とした場合のパーセンテージを示したものである。このポテンシャルラインを見ると最大のポテンシャル低下を示しているのは河岸からかなり砂州の内部に入つて各集水管の合流地点であつてこの部分を中心にして附近一帯のポテンシャルは大きく低下している。しきがつてこの部分の集水管の取水能力を増加させたためには既設集水管に近い部分にクリーク状の水路を造成し、河水を呼びこんで周囲のポテンシャルをあげてやれば効果的なことが推察できる。図-3は電気アナログ模型実験から求めたポテンシャル分布状態である。このポテンシャル分布を得たうえで境界条件を4回修正していく。両者を比較すると全体的にはかなり似つかう。ポテンシャル分布を示していかが、90%のポテンシャル分布の形状と下流の河岸一帯および河岸附近のポテンシャル分布の差異が目立つ。これは河の中でも河岸に近い部分はヘドロが堆積し河水の流入はほとんどないにもかかわらず、流入源としてためて、さらに修正するためには河岸部分の流入境界条件を変えてポテンシャル測定を実施する必要がある。

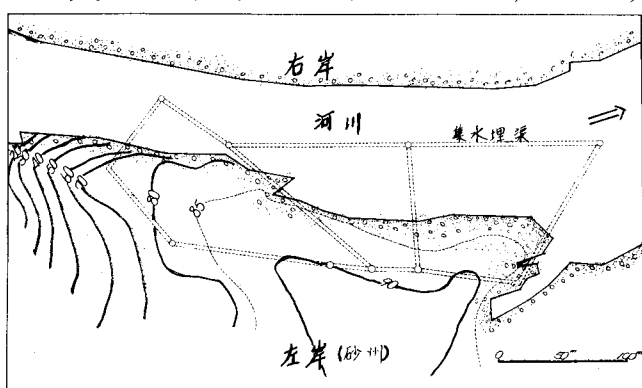


図-2 現地調査結果によるポテンシャル分布状態

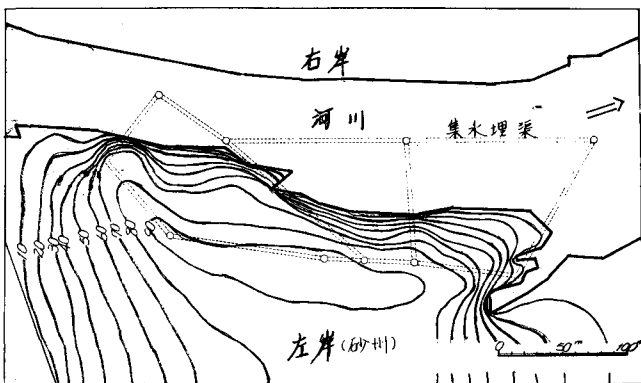


図-3 電気アナログ法によるポテンシャル分布状態(4回修正)

図-3で述べたように模型のポテンシャル分布状態を実際のポテンシャル状態にできるだけ一致するように境界条件を修正し終わつたら取水量増加の解析を行なう。ここでは(実施例-1)の新設管増設の場合について述べる。図-4は既設集水管の配置およびポテンシャル分布を示したものであるが、まず既設管のみの取水量を実験結果から算出し、実測で判明している取水量と比較する。実験値と実測値に差があれば、その誤差の割合を求めておき新設管の取水量算定のときの参考とする。この別の場合には、実測値  $5000 \sim 6000 \text{ m}^3/\text{hour}$  に対し実験値は  $4,990 \text{ m}^3/\text{hour}$  であった。このポテンシャル分布を見た場合、各集水管の周囲の主流はかなりのポテンシャル低下を受け、集水管 #1, #2, #3 の附近がとくに大きく影響を受けている。この影響の受け方は各集水管同志の相互干渉である。このようなポテンシャル分布を示す地区に新設管を増設する場合の位置としては集水管 #3 と #4 および #4 と #5 の間に適当と判断される。図-5は新設管の位置を #3 と #4, #4 と #5 の位置に設置した場合の附近一帯のポテンシャル分布であり、表-1 は各集水管の算定取水量である。新設集水管 A, B が設置されために全体の取水量は 11.2% 増加した。しかし

分布の形状と下流の河岸一帯および河岸附近のポテンシャル分布の差異が目立つ。これは河の中でも河岸に近い部分はヘドロが堆積し河水の流入はほとんどないにもかかわらず、流入源としてためて、さらに修正するためには河岸部分の流入境界条件を変えてポテンシャル測定を実施する必要がある。

#### 2.4 新設管による取水量増加の解析

図-3で述べたように模型のポテンシャル分布状態を実際のポテンシャル状態にできるだけ一致するように境界条件を修正し終わつたら取水量増加の解析を行なう。ここでは(実施例-1)の新設管増設の場合について述べる。図-4は既設集水管の配置およびポテンシャル分布を示したものであるが、まず既設管のみの取水量を実験結果から算出し、実測で判明している取水量と比較する。実験値と実測値に差があれば、その誤差の割合を求めてお

ながら、既設集水管の各集水量はいずれも低減し、とくに新設集水管に近接した集水管<sup>#4</sup>、<sup>#5</sup>の場合には<sup>#4</sup>が15%、<sup>#5</sup>が13.8%と影響が大きい。他の集水管は影響も10%以下で、新設管から最も離れた集水管<sup>#1</sup>は6.9%の低減にとどまり最も影響が小さい。取水量の低下と合わせてポテンシャル分布を見ると密接な関係にあることがわかる。集水管<sup>#4</sup>は最も取水量の低減を受けていたが、この集水管の周囲のポテンシャル分布は新設管<sup>A</sup>、<sup>B</sup>によって以前とは大巾へ変化し、相互干渉が最も著ら

集水管	<sup>#1</sup>	<sup>#2</sup>	<sup>#3</sup>	<sup>#4</sup>	<sup>#5</sup>	<sup>*A</sup>	<sup>*B</sup>	全体
既設管	7,450	1,700	590	600	650	—	—	2,990
新設管	1,350	1,540	540	510	560	590	460	5,350
増加量	-6.9	-9.4	-8.5	-15.0	-13.8	—	—	+11.2

表-1 新設管増設による既設水管の取水能力低下

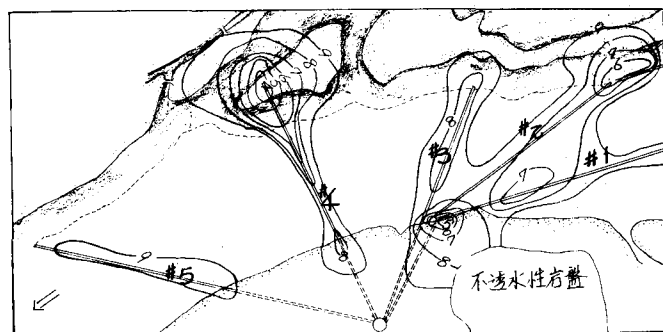


図-4 既設集水管のみの場合のポテンシャル分布

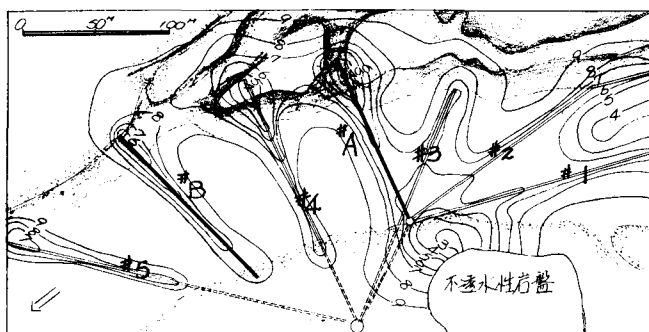


図-5 新設管<sup>A</sup>、<sup>B</sup>を加えた場合のポテンシャル分布

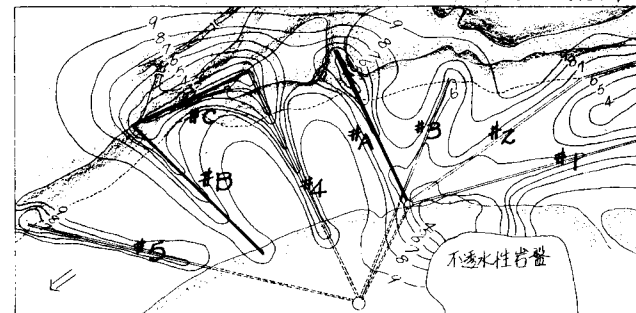


図-6 新設管<sup>A</sup>、<sup>B</sup>、<sup>C</sup>を加えた場合のポテンシャル分布

らしい。又、集水管<sup>#1</sup>、<sup>#2</sup>の附近のポテンシャル分布も既設集水管のみのときのポテンシャル分布と比較して場合影響の範囲が広がっており、取水量の低減と関連していることがわかる。

図-6は新設集水管<sup>C</sup>を加えた場合であるが、河床部分にヘドロ等の不透水性物質が堆積しているため効果は少なく、全体の集水量が1%増加しかじかで、集水管<sup>C</sup>による効果は0.8%の取水量増加にとどまっている。この部分はすでに集水管<sup>#4</sup>と<sup>B</sup>によってポテンシャル低下を受けていたことが図-5によつて明らかである。

以上のように電気アノログ法を用いて伏流水の解析を行なえば複雑な問題も簡便明瞭に解析することができる。

### 3. あとがき

筆者らはこの電気アノログ法をドック渠底下的減圧排水、止水天板根入れ長、ティーアウェルの設置、堤体内の浸透流向題など浸透流の問題の研究を進めるとともに実際の工事計画に適用して効果を挙げている。

### 図の説明

- 砂州および陸上部
- 黒塗りの部分 → 河床下ヘドロ堆積
- 有孔集水管(既設)
- 無孔導水管
- 有孔集水管(新設)
- 数字は自然地下水位を10とした場合の各ポテンシャルを表わす。